

## · 系统综述/Meta 分析 ·

# HIV 感染者巨细胞病毒血症现患率 Meta 分析

乔世杰 刘星 何纳

复旦大学公共卫生学院流行病学教研室, 公共卫生安全教育部重点实验室, 上海 200032

通信作者: 何纳, Email: nhe@fudan.edu.cn

**【摘要】 目的** 运用 Meta 分析了解 HIV 感染者巨细胞病毒(CMV)血症的流行情况及相关因素。

**方法** 系统检索 2011–2020 年 PubMed、中国知网、万方数据知识服务平台、维普数据库中关于 HIV 感染者 CMV 血症现患率的文献, 文献筛选和数据提取后进行 Meta 分析。

**结果** 共纳入 15 篇文献, 总样本量为 5 076 例。Meta 随机效应模型显示, HIV 感染者 CMV 血症合并现患率为 26.2% (95%CI: 16.8%~35.6%,  $I^2=99\%$ ) ; 亚组分析和 Meta 回归结果显示, 不同研究间异质性来源可能为: 研究样本中 >30 岁人群比例、同性性传播比例、HIV 病毒载量  $>10^4$  拷贝数/ml 比例、CD4<sup>+</sup>T 淋巴细胞计数  $<200$  个/ $\mu\text{l}$  比例。

**结论** HIV 感染者 CMV 血症现患率较高, 现患 CMV 血症可能与 HIV 感染者的年龄、HIV 感染途径、艾滋病病程进展密切相关。

**【关键词】** 艾滋病病毒; 巨细胞病毒血症; 现患率; Meta 分析

**基金项目:** 国家科技重大专项(2018ZX10721102-004)

## Plasma cytomegalovirus viremia prevalence among HIV-infected individuals: a Meta-analysis

Qiao Shijie, Liu Xing, He Na

Department of Epidemiology, School of Public Health, Key Laboratory of Public Health Safety, Ministry of Education, Fudan University, Shanghai 200032, China

Corresponding author: He Na, Email: nhe@fudan.edu.cn

**[Abstract]** **Objective** To understand the prevalence and correlates of plasma cytomegalovirus (CMV) viremia among HIV-infected individuals by Meta-analysis. **Methods** A systematic literature retrieval was conducted by PubMed, CNKI, Wanfang, and VIP databases for the information about the prevalence of plasma CMV viremia among HIV-infected individuals published from 2011 to 2020. Meta-analysis was used to calculate the pooled prevalence after literature screening and data extraction. **Results** Fifteen studies were included, and the total sample size was 5 076. The random effect model showed that the pooled prevalence of CMV viremia among HIV-infected individuals was 26.2% (95%CI: 16.8%~35.6%,  $I^2=99\%$ ); Subgroup analysis and Meta-regression showed that the sources of heterogeneity among different studies were: the proportion of individuals aged >30 years in sample, the proportion of homosexual transmission in the sample, the proportion of individuals whose HIV viral load  $> 10^4$  copies/ml, the proportion of individuals whose CD4<sup>+</sup>T lymphocyte counts  $<200$  cells/ $\mu\text{l}$ . **Conclusion** Among HIV-infected individuals, the prevalence of CMV viremia was high and might be associated with age, HIV transmission mode, the status of HIV/AIDS.

**[Key words]** HIV; Cytomegalovirus viremia; Prevalence; Meta-analysis

**Fund program:** National Science and Technology Major Project of China (2018ZX10721102-004)

DOI: 10.3760/cma.j.cn112338-20200629-00899

收稿日期 2020-06-29 本文编辑 斗智

引用本文: 乔世杰, 刘星, 何纳. HIV 感染者巨细胞病毒血症现患率 Meta 分析[J]. 中华流行病学杂志, 2021, 42(4): 723~727. DOI: 10.3760/cma.j.cn112338-20200629-00899.



巨细胞病毒(CMV)感染是HIV感染者最常见的人机会性感染之一,HIV感染者CMV血清抗体阳性率达80%~100%<sup>[1-2]</sup>。正常人群感染CMV常表现为无症状的潜伏感染或单核细胞增多症,但HIV感染者常发展为CMV视网膜炎、肺炎、结肠炎等CMV相关终末器官疾病(CMV-EOD)<sup>[3]</sup>。HIV感染者血浆中检出CMV-DNA说明血液中的CMV严重播散<sup>[4]</sup>,可以敏感反映CMV感染激活状态<sup>[5]</sup>,是一种预测CMV相关疾病的良好指标<sup>[6]</sup>,可能是比HIV载量、CD4<sup>+</sup>T淋巴细胞计数(CD4)更好的疾病与死亡预测指标<sup>[7-8]</sup>。随着抗病毒治疗工作的落实,HIV感染者CMV-EOD发病率已经明显下降,但HIV感染者共患CMV血症仍与多种不良结局发生有关,如艾滋病病程快速进展、死亡风险增加<sup>[9]</sup>。此外,越来越多的证据显示,CMV与机体衰老密切相关。感染CMV可能导致机体持续的慢性炎症反应和免疫激活<sup>[10]</sup>,促进了衰老相关慢性疾病的发生。流行病学数据也表明CMV血清阳性可能与慢性疾病和不良健康状况的发生相关,如心血管疾病、残疾、虚弱、死亡<sup>[11]</sup>。本研究对发表于2011~2020年HIV感染者共患CMV血症的文献进行Meta分析,以了解其流行现状及相关因素,为HIV感染者疾病防治及策略制定提供科学依据。

## 资料与方法

1. 检索方法:检索PubMed数据库,检索词主要为“cytomegalovirus”或“HCMV”或“CMV”,“viremia”或“DNAemia”或“plasma DNA”或“plasma positive”,“HIV”或“HIV-infected”或“AIDS”。检索中国知网、万方数据知识服务平台、维普数据库,检索词主要为“HIV”或“艾滋病”或“AIDS”,“CMV”或“巨细胞病毒”或“HCMV”,“病毒血症”或“血浆DNA”,语种限制为中文或英文,检索时间范围为2011~2020年。此外,采用文献追溯法以收集更多文献。

2. 文献筛选:根据检索策略在4个数据库中检索,采用NoteExpress软件剔除重复的文献。对文献题目和摘要进行初筛,不能明确是否达到排除标准的文献进一步阅读全文进行筛选。纳入标准:  
①随机选取且年龄≥18岁的HIV感染者;  
②检测指标为血浆CMV-DNA水平;  
③报告了研究设计、调查时间、诊断方法、诊断标准和患者类型;  
④原创性研究。  
排除标准:  
①病例报告、综述、针对同一资料

重复发表的文献等;  
②已经诊断患有CMV-EOD的患者;  
③使用全血、外周血白细胞等生物材料;  
④缺失纳入人群的基本人口学信息。

3. 数据提取与质量评价:对纳入的文献进行数据提取:  
①作者及发表时间;  
②研究地点;  
③HIV感染者总样本量;  
④性别构成;  
⑤年龄分布;  
⑥HIV感染途径;  
⑦HIV载量;  
⑧HIV感染者的CD4分布;  
⑨接受抗病毒治疗人数分布;  
⑩PCR技术的血浆CMV-DNA检测限;  
⑪CMV血症现患率。采用STROBE声明中针对横断面研究的评价标准对纳入文献进行质量评分(包括引言、方法、结果、讨论等22个评价条目),若STROBE评分≥14分,为高质量。

4. 统计学分析:采用R软件进行率的Meta分析,计算合并现患率及95%CI。根据Q检验和I<sup>2</sup>判断研究间的异质性,若Q检验的P>0.05且I<sup>2</sup>≤50%,采用固定效应模型进行合并分析,否则采用随机效应模型进行合并分析。若研究存在异质性,采用亚组分析和Meta回归分析不同研究间的异质性来源。根据纳入人群特征的不同,亚组分层变量包括:样本的男性比例、年龄>30岁人群比例、男男同性性传播比例、HIV病毒载量>10<sup>4</sup>拷贝数/ml人群比例,CD4<200个/μl人群比例,接受抗病毒治疗比例,按比例的不同分为未提供、≤50%、51%~>75%4组。Meta回归筛选可能的异质性来源,为避免漏掉重要影响因素,将检验水准α放宽至0.1<sup>[12]</sup>。排除其中任1篇文献进行敏感性分析,漏斗图和Egger线性回归判断发表偏倚。

## 结 果

1. 纳入文献基本情况:初始检索得到共232篇文献,其中PubMed数据库167篇、中国知网29篇、万方数据知识服务平台31篇、维普数据库5篇。根据纳入和排除标准,最终纳入15篇文献(表1),纳入文献总样本量为5 076人。文献筛选流程见图1。纳入文献质量评分为14~19分,平均(17.6±1.5)分,纳入文献的质量较好。

2. HIV感染者CMV血症现患率:对纳入的15篇文献进行Meta分析并进行异质性检验,结果显示不同研究间HIV感染者CMV血症现患率存在显著异质性(I<sup>2</sup>=99%,Q=1 267.2,P<0.01)。随机效应模型Meta分析显示,CMV血症合并现患率为26.2%(95%CI:16.8%~35.6%)。

表 1 纳入文献的基本情况

| 作者(发表年份)                         | 研究地点  | 样本量   | 男性(%) | 年龄(岁)            | 同性性传播比例(%) | HIV 载量( $\log_{10}$ 拷贝数/ml) | CD4(个/ $\mu$ l)   | 抗病毒治疗接受比例(%) | CMV-DNA 检测限(拷贝数/ml) | CMV 血症现患率(%) | 质量评分 |
|----------------------------------|-------|-------|-------|------------------|------------|-----------------------------|-------------------|--------------|---------------------|--------------|------|
| Fielding(2011) <sup>[13]</sup>   | 南非    | 1 341 | 99.6  | 39 <sup>a</sup>  | —          | —                           | 345 <sup>a</sup>  | 0.0          | 50                  | 5.2          | 19   |
| El Amari(2011) <sup>[14]</sup>   | 瑞士    | 1 128 | 67.0  | 38 <sup>a</sup>  | 30.1       | 5.0 <sup>a</sup>            | 61 <sup>a</sup>   | 41.0         | 80                  | 32.6         | 19   |
| Focà(2012) <sup>[15]</sup>       | 意大利   | 30    | 76.7  | 41 <sup>b</sup>  | 13.3       | 5.3 <sup>b</sup>            | —                 | 0.0          | 316                 | 20.0         | 15   |
| Durier(2013) <sup>[16]</sup>     | 泰国    | 293   | 54.3  | 33 <sup>a</sup>  | 21.8       | 4.9 <sup>a</sup>            | 82 <sup>a</sup>   | 100.0        | 44                  | 26.3         | 19   |
| Aramă(2014) <sup>[17]</sup>      | 罗马尼亚  | 105   | 52.4  | 31 <sup>a</sup>  | —          | 4.6 <sup>a</sup>            | 164 <sup>a</sup>  | 0.0          | —                   | 19.0         | 19   |
| Aichelburg(2015) <sup>[18]</sup> | 奥地利   | 153   | 71.9  | 44 <sup>b</sup>  | 32.0       | —                           | 167 <sup>b</sup>  | 76.5         | 20                  | 34.6         | 18   |
| 梁均和(2015) <sup>[19]</sup>        | 中国    | 300   | 73.0  | 39 <sup>b</sup>  | —          | —                           | >200 <sup>a</sup> | —            | —                   | 8.7          | 14   |
| Mizushima(2015) <sup>[20]</sup>  | 日本    | 461   | 93.9  | 39 <sup>a</sup>  | 79.2       | 5.2 <sup>a</sup>            | 42 <sup>a</sup>   | 8.7          | 200                 | 53.8         | 18   |
| Lurain(2016) <sup>[21]</sup>     | 美国    | 110   | 0.0   | >30 <sup>a</sup> | 0.0        | —                           | >200 <sup>a</sup> | 75.5         | 100                 | 3.6          | 18   |
| Grønborg(2018) <sup>[22]</sup>   | 几内亚比绍 | 137   | 34.3  | 39 <sup>b</sup>  | —          | —                           | <200 <sup>a</sup> | 0.0          | 20                  | 38.7         | 18   |
| Bigliano(2018) <sup>[23]</sup>   | 意大利   | 302   | 68.9  | 48 <sup>a</sup>  | —          | 5.4 <sup>a</sup>            | 51 <sup>a</sup>   | 0.0          | —                   | 66.6         | 18   |
| Letendre(2018) <sup>[24]</sup>   | 美国    | 80    | 87.5  | 42 <sup>b</sup>  | —          | —                           | 520 <sup>b</sup>  | 47.5         | 50                  | 8.8          | 16   |
| Moraka(2019) <sup>[25]</sup>     | 博茨瓦纳  | 350   | 0.0   | <30 <sup>a</sup> | 0.0        | <4 <sup>a</sup>             | >200 <sup>a</sup> | 96.6         | 50                  | 9.1          | 18   |
| Skipper(2019) <sup>[26]</sup>    | 乌干达   | 111   | 54.1  | 35 <sup>b</sup>  | —          | 5.4 <sup>b</sup>            | 19 <sup>a</sup>   | 0.0          | —                   | 52.3         | 17   |
| Mhandire(2019) <sup>[27]</sup>   | 津巴布韦  | 175   | 0.0   | 30 <sup>b</sup>  | 0.0        | 2.0 <sup>a</sup>            | 377 <sup>a</sup>  | 100.0        | —                   | 15.4         | 18   |

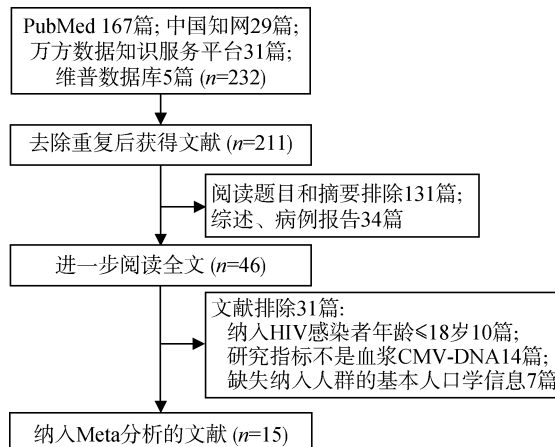
注: <sup>a</sup>中位数; <sup>b</sup>均数; —无数据

图 1 文献筛选流程

3. 亚组分析和 Meta 回归: 对可能的异质性来源进行亚组分析和 Meta 回归, 结果见表 2。Meta 回归提示异质性来源可能包括: 研究纳入 HIV 感染者样本的>30 岁人群比例、同性性传播比例、HIV 病毒载量>10<sup>4</sup> 拷贝数/ml 比例、CD4<200 个/ $\mu$ l 比例。

亚组分析结果显示: 研究纳入样本的年龄越大、感染途径为同性性传播人数越多、HIV 病毒载量越高、CD4 越低, CMV 血症现患率越高。>30 岁人群比例≤50%、51%~ 和>75% 组现患率分别为 11.9%、27.4% 和 28.9%; CD4<200 个/ $\mu$ l 人群比例≤50%、51%~ 和>75% 组现患率分别为 11.7%、26.8% 和 42.3%。同性性传播比例>75% 组 CMV 病毒血症

现患率(53.8%)高于≤50% 组现患率(20.1%); HIV 病毒载量>10<sup>4</sup> 拷贝数/ml 比例>75% 组现患率(41.7%)高于≤50% 组现患率(13.8%); 抗病毒治疗接受比例≤50% 组的 CMV 血症现患率(33.0%)高于接受度比例>75% 组现患率(17.5%), 但差异无统计学意义( $P=0.110$ )。

4. 发表偏倚和敏感性分析: 漏斗图分析纳入文献的发表偏倚(图 2), 漏斗图直观结果对称性一般。Egger 线性回归结果显示  $P=0.219$ , 提示纳入文献不存在发表偏倚。敏感性分析显示, 随机效应模型在剔除任何 1 篇文献后, HIV 感染者 CMV 血症合并现患率无明显变化, 结果稳定性较好。

## 讨 论

有文献报告一般人群 CMV 血症现患率为 0.13%<sup>[28]</sup>。本研究共纳入 15 篇文献, Meta 分析随机效应模型显示 2011–2020 年 HIV 感染者 CMV 血症合并现患率为 26.2%, 远高于一般人群的现患水平, 不同研究 CMV 血症现患率的异质性差异有统计学意义( $I^2=99\%$ ,  $P<0.01$ ), 亚组分析和 Meta 回归显示异质性来源包括研究样本中>30 岁人群比例、同性性传播比例、HIV 病毒载量>10<sup>4</sup> 拷贝数/ml 比例、CD4<200 个/ $\mu$ l 比例, 提示 HIV 感染者的年龄、HIV 感染途径、免疫状态可能是现患 CMV 血症的

表2 HIV感染者巨细胞病毒血症现患率亚组分析和Meta回归

| 因 素                               | 文献数目 | 人 数   | CMV 血症现患率<br>(%, 95%CI) | 异质性检验   |                     |        | Meta 回归P值 |
|-----------------------------------|------|-------|-------------------------|---------|---------------------|--------|-----------|
|                                   |      |       |                         | Q 值     | I <sup>2</sup> 值(%) | P 值    |           |
| 男性比例(%)                           |      |       |                         |         |                     |        |           |
| ≤50                               | 5    | 883   | 23.2(10.3~36.0)         | 140.2   | 97.2                | <0.001 |           |
| 51~                               | 6    | 2 281 | 31.3(15.7~46.9)         | 363.2   | 98.6                | <0.001 | 0.430     |
| >75                               | 4    | 1 912 | 22.0(4.8~48.7)          | 412.2   | 99.3                | <0.001 | 0.937     |
| >30岁比例(%)                         |      |       |                         |         |                     |        |           |
| ≤50                               | 2    | 525   | 11.9(5.8~18.0)          | 4.0     | 75.1                | 0.045  |           |
| 51~                               | 5    | 3 278 | 27.4(14.6~40.3)         | 165.2   | 97.6                | <0.001 | 0.033     |
| >75                               | 8    | 1 273 | 28.9(11.3~46.5)         | 950.0   | 99.0                | <0.001 | 0.073     |
| 同性性传播比例(%)                        |      |       |                         |         |                     |        |           |
| ≤50                               | 7    | 2 239 | 20.1(9.8~30.5)          | 236.5   | 97.5                | <0.001 |           |
| >75                               | 1    | 461   | 53.8(49.3~58.4)         | 0.0     | 0.0                 | 1.000  | <0.001    |
| 未提供                               | 7    | 2 376 | 28.3(12.1~44.4)         | 628.4   | 99.1                | <0.001 | 0.405     |
| HIV载量>10 <sup>4</sup> 拷贝数/ml比例(%) |      |       |                         |         |                     |        |           |
| ≤50                               | 5    | 868   | 13.8(6.0~21.7)          | 58.2    | 93.1                | <0.001 |           |
| >75                               | 6    | 2 400 | 41.7(28.2~55.3)         | 223.6   | 97.8                | <0.001 | 0.002     |
| 未提供                               | 4    | 1 808 | 17.0(7.3~26.7)          | 69.4    | 95.7                | <0.001 | 0.739     |
| CD4<200个/ $\mu$ l比例(%)            |      |       |                         |         |                     |        |           |
| ≤50                               | 7    | 2 493 | 11.7(7.0~16.3)          | 82.6    | 92.7                | <0.001 |           |
| 51~                               | 2    | 258   | 26.8(11.6~42.1)         | 8.2     | 87.8                | 0.004  | 0.063     |
| >75                               | 6    | 2 325 | 42.3(28.8~55.9)         | 201.3   | 97.5                | <0.001 | <0.001    |
| 抗病毒治疗接受度比例(%)                     |      |       |                         |         |                     |        |           |
| ≤50                               | 9    | 3 695 | 33.0(16.5~49.6)         | 1 158.0 | 99.3                | <0.001 |           |
| >75                               | 5    | 1 081 | 17.5(7.9~27.0)          | 92.4    | 95.7                | <0.001 | 0.110     |
| 未提供                               | 1    | 300   | 8.7(5.5~11.9)           | 0.0     | 0.0                 | 1.000  | 0.005     |

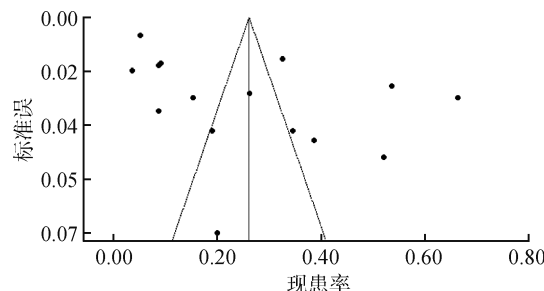


图2 HIV感染者巨细胞病毒血症现患率Meta分析

影响因素。

HIV感染者接受抗病毒治疗也与现患CMV血症密切相关,抗病毒治疗可以有效减少血浆CMV-DNA载量,清除CMV血症<sup>[15,29]</sup>。Durier等报告泰国293例HIV感染者接受6个月抗病毒治疗后,CMV血症现患率从26.3%降至4.5%。有研究发现,抗病毒治疗可以快速降低血浆中HIV的水平,而降低CMV血症的效应会滞后3个月<sup>[30]</sup>。本研究也显示抗病毒治疗接受度比例≤50%组的CMV血症现患率(33.0%)高于接受度比例>75%组现患

率(17.5%),但差异无统计学意义( $P=0.110$ ),这可能是因为抗病毒治疗接受度仅反映了HIV感染者是否接受抗病毒治疗,而未反映接受抗病毒治疗时长。

CMV可以通过导致持续的免疫激活,诱导免疫衰老等途径加速机体衰老,CMV本身也可以感染并破坏上皮细胞、内皮细胞、平滑肌细胞,导致如动脉粥样硬化等心血管疾病发生<sup>[31]</sup>。已有文献报道即使HIV感染者接受抗病毒治疗,CMV血症仍与HIV感染者发生CMV-EOD风险增加、死亡风险增加<sup>[14]</sup>、艾滋病病程进展加速密切相关<sup>[17,32]</sup>,HIV感染者CMV血症的现患情况及致病效应值得进一步研究。

本研究存在不足。首先,各研究间异质性较大,按照纳入样本不同特征的比例进行亚组分析,无法直接判断这些特征对CMV血症现患状况的效应和因果关联。其次,部分CMV血症现患率数据提取来自文献中队列研究的基线内容,原始研究可能存在一定的选择偏倚,但敏感性分析结果显示,

剔除这些文献后,合并现患率稳定性较好。

综上所述,HIV 感染者 CMV 血症现患率较高, HIV 感染者年龄较大、同性性传播、免疫状况较差可能与 CMV 血症的出现密切相关。目前我国现存 HIV 感染者人数、新报告 HIV 感染者人数不断增加,因此有必要了解我国 HIV 感染者 CMV 血症现患率水平,了解 CMV 血症对 HIV 感染者抗病毒治疗后的病程影响,为新报告 HIV 感染者和高危人群开展 CMV 血症早期筛查早期干预提供科学依据。

利益冲突 所有作者均声明不存在利益冲突

## 参 考 文 献

- [1] Gianella S, Massanella M, Wertheim JO, et al. The sordid affair between human herpesvirus and HIV[J]. *J Infect Dis*, 2015, 212(6):845-852. DOI:10.1093/infdis/jiv148.
- [2] Bate SL, Dollard SC, Cannon MJ. Cytomegalovirus seroprevalence in the United States: the national health and nutrition examination surveys, 1988-2004[J]. *Clin Infect Dis*, 2010, 50(11): 1439-1447. DOI: 10.1086/652438.
- [3] Gandhi MK, Khanna R. Human cytomegalovirus: clinical aspects, immune regulation, and emerging treatments[J]. *Lancet Infect Dis*, 2004, 4(12): 725-738. DOI: 10.1016/S1473-3099(04)01202-2.
- [4] Freymuth F, Gennetay E, Petitjean J, et al. Comparison of nested PCR for detection of DNA in plasma with pp65 leukocytic antigenemia procedure for diagnosis of human cytomegalovirus infection[J]. *J Clin Microbiol*, 1994, 32(6): 1614-1618. DOI:10.1128/JCM.32.6.1614-1618.1994.
- [5] Spector SA, Merrill R, Wolf D, et al. Detection of human cytomegalovirus in plasma of AIDS patients during acute visceral disease by DNA amplification[J]. *J Clin Microbiol*, 1992, 30(9):2359-2365. DOI:10.1128/JCM.30.9.2359-2365.1992.
- [6] Pellegrin I, Garrigue I, Binquet C, et al. Evaluation of new quantitative assays for diagnosis and monitoring of cytomegalovirus disease in human immunodeficiency virus-positive patients[J]. *J Clin Microbiol*, 1999, 37(10): 3124-3132. DOI:10.1128/JCM.37.10.3124-3132.1999.
- [7] Spector SA, Wong R, Hsia K, et al. Plasma cytomegalovirus (CMV) DNA load predicts CMV disease and survival in AIDS patients[J]. *J Clin Invest*, 1998, 101(2):497-502. DOI: 10.1172/JCI1101.
- [8] Gerard L, Leport C, Flandre P, et al. Cytomegalovirus (CMV) viremia and the CD4<sup>+</sup> lymphocyte count as predictors of CMV disease in patients infected with human immunodeficiency virus[J]. *Clin Infect Dis*, 1997, 24(5):836-840. DOI:10.1093/clinids/24.5.836.
- [9] Wohl DA, Zeng DL, Stewart P, et al. Cytomegalovirus viremia, mortality, and end-organ disease among patients with AIDS receiving potent antiretroviral therapies[J]. *J Acquir Immune Defic Syndr*, 2005, 38(5): 538-544. DOI: 10.1097/QAI.0000155204.96973.c3.
- [10] Tavenier J, Margolick JB, Leng SX. T-cell immunity against cytomegalovirus in HIV infection and aging: relationships with inflammation, immune activation, and frailty[J]. *Med Microbiol Immunol*, 2019, 208(3/4): 289-294. DOI: 10.1007/s00430-019-00591-z.
- [11] Leng SX, Kamil J, Purdy JG, et al. Recent advances in CMV tropism, latency, and diagnosis during aging[J]. *Geroscience*, 2017, 39(3):251-259. DOI:10.1007/s11357-017-9985-7.
- [12] 石修权,王增珍. Meta 回归与亚组分析在异质性处理中的应用[J]. 中华流行病学杂志, 2008, 29(5):497-501. DOI: 10.3321/j.issn.0254-6450.2008.05.018.
- [13] Shi XQ, Wang ZZ. Application of Meta-regression and subgroup analyses of heterogeneity disposal in Meta-analysis[J]. *Chin J Epidemiol*, 2008, 29(5):497-501. DOI:10.3321/j.issn.0254-6450.2008.05.018.
- [14] Fielding K, Koba A, Grant AD, et al. Cytomegalovirus viremia as a risk factor for mortality prior to antiretroviral therapy among HIV-infected gold miners in South Africa[J]. *PLoS One*, 2011, 6(10): e25571. DOI: 10.1371/journal.pone.0025571.
- [15] Focà E, Motta D, Pollara C, et al. Impact of detectable human cytomegalovirus DNAemia on viro-immunological effectiveness of HAART in HIV-infected patients naive to antiretroviral therapy[J]. *New Microbiol*, 2012, 35(2): 227-231.
- [16] Durier N, Ananworanich J, Apornpong T, et al. Cytomegalovirus viremia in Thai HIV-infected patients on antiretroviral therapy: prevalence and associated mortality[J]. *Clin Infect Dis*, 2013, 57(1): 147-155. DOI: 10.1093/cid/cit173.
- [17] Aramă V, Mihăilescu R, Rădulescu M, et al. Clinical relevance of the plasma load of cytomegalovirus in patients infected with HIV—a survival analysis[J]. *J Med Virol*, 2014, 86(11):1821-1827. DOI:10.1002/jmv.24027.
- [18] Aichelburg MC, Weseslindtner L, Mandorfer M, et al. Association of CMV-specific T Cell-mediated immunity with CMV DNAemia and development of CMV disease in HIV-1-infected individuals[J]. *PLoS One*, 2015, 10(8): e0137096. DOI:10.1371/journal.pone.0137096.
- [19] 梁均和,陈安妮,吴彩荣,等. HIV/AIDS 患者外周血 CD4<sup>+</sup>T 淋巴细胞水平与巨细胞病毒感染相关性分析[J]. 皮肤性病诊疗学杂志, 2015, 22(1):18-20. DOI:10.3969/j.issn.1674-8468.2015.01.006.
- [20] Liang JH, Chen AN, Guan YR, et al. The correlation analysis of CD4<sup>+</sup>T lymphocyte level and cytomegalovirus infection in the peripheral blood cells of AIDS patients[J]. *J Diagn Ther Dermato-Venereol*, 2015, 22(1):18-20. DOI:10.3969/j.issn.1674-8468.2015.01.006.
- [21] Mizushima D, Nishijima T, Yashiro S, et al. Diagnostic utility of quantitative plasma cytomegalovirus DNA PCR for cytomegalovirus end-organ diseases in patients with HIV-1 infection[J]. *J Acquir Immune Defic Syndr*, 2015, 68(2):140-146. DOI:10.1097/QAI.0000000000000410.
- [22] Lurain NS, Hanson BA, Hotton AL, et al. The association of human cytomegalovirus with biomarkers of inflammation and immune activation in HIV-1-infected women[J]. *AIDS Res Hum Retroviruses*, 2016, 32(2): 134-143. DOI: 10.1089/AID.2015.0169.
- [23] Grønborg HL, Jespersen S, Egedal JH, et al. Prevalence and clinical characteristics of CMV coinfection among HIV infected individuals in Guinea-Bissau: a cross-sectional study[J]. *Trop Med Int Health*, 2018, 23(8):896-904. DOI: 10.1111/tmi.13082.
- [24] Bigliano P, Calcagno A, Lucchini A, et al. The outcome of HIV-positive late presenters according to detectable CMV DNA and anti-CMV treatment[J]. *Antivir Ther*, 2018, 23(5): 451-456. DOI:10.3851/IMP3221.
- [25] Letendre S, Bharti A, Perez-Valero I, et al. Higher anti-cytomegalovirus immunoglobulin concentrations are associated with worse neurocognitive performance during suppressive antiretroviral therapy[J]. *Clin Infect Dis*, 2018, 67(5):770-777. DOI:10.1093/cid/ciy170.
- [26] Moraka NO, Moyo S, Mayondi G, et al. Cytomegalovirus Viremia in HIV-1 subtype C positive women at delivery in Botswana and adverse birth/infant health outcomes[J]. *J Acquir Immune Defic Syndr*, 2019, 81(1): 118-124. DOI: 10.1097/QAI.00000000000001982.
- [27] Skipper CP, Schleiss MR, Bangdiwala AS, et al. Cytomegalovirus viremia associated with increased mortality in cryptococcal meningitis in sub-Saharan Africa [J]. *Clin Infect Dis*, 2019, 71(3): 525-531. DOI: 10.1093/cid/ciz864.
- [28] Mhandire D, Morse G, Maponga C, et al. Plasma efavirenz concentration inversely correlates with increased risk of cytomegalovirus infection in HIV-infected pregnant women[J]. *S Afr Med J*, 2019, 110(1):10-15. DOI:10.7196/SAMJ.2019.v110i1.14316.
- [29] Ziemann M, Krueger S, Maier AB, et al. High prevalence of cytomegalovirus DNA in plasma samples of blood donors in connection with seroconversion[J]. *Transfusion*, 2007, 47(11):1972-1983. DOI:10.1111/j.1537-2995.2007.01420.x.
- [30] O'Sullivan CE, Drew WL, McMullen DJ, et al. Decrease of cytomegalovirus replication in human immunodeficiency virus infected-patients after treatment with highly active antiretroviral therapy[J]. *J Infect Dis*, 1999, 180(3): 847-849. DOI:10.1086/314943.
- [31] Para MF, Kalish LA, Collier AC, et al. Qualitative and quantitative PCR measures of cytomegalovirus in patients with advanced HIV infection who require transfusions[J]. *J Acquir Immune Defic Syndr*, 2001, 26(4):320-325. DOI: 10.1097/00126334-20010401-00004.
- [32] Maniar A, Ellis C, Asmuth D, et al. HIV infection and atherosclerosis: evaluating the drivers of inflammation[J]. *Eur J Prev Cardiol*, 2013, 20(5): 720-728. DOI: 10.1177/2047487312447843.
- [33] Deayton JR, Sabin CA, Johnson MA, et al. Importance of cytomegalovirus viraemia in risk of disease progression and death in HIV-infected patients receiving highly active antiretroviral therapy[J]. *Lancet*, 2004, 363(9427): 2116-2121. DOI:10.1016/S0140-6736(04)16500-8.